

缺陷을 갖는 不連續平板 構造物의 安定性 研究

李善雨* · 金時榮** · 洪奉基**

A Study on the Stability of Uncontiuous Plate Structures with Cracks

Sun Wo LEE* , Si Young KIM** and Bong Ki HONG**

This paper deals with the characterics of the stability of uncontinuous plate structures with cracks. The relation between the J-integral of the cracks existing in the stress-concentrated regions and local strain are investigated experimentally and theoretically.

The BEM(boundary element method)analysis and test results lead to the follow conclusions :

1. A non-dimensional J was computed in a plate strss and strain condition for several kind of loads and crack types.

The J design curves are defined as follows :

$$J_E/\sigma_y^2 a = 3.345(e/e_y)^2 \text{ at } e/e_y \leq 1$$

$$J_E/\sigma_y^2 a = 3.345(e/e_y) \text{ at } e/e_y > 1$$

2. Use of this curve provides a good estimation for the uncontinuous plate structures with cracks existing in the stress and strain concentrated region.

3. The stability of the characteristics is mainly depenent upon not the length of cracks but the type of the cracks.

記號說明

- G : 材料의 剪斷彈性係數(kg/mm²)
 ν : 프와송 비(poission's ratio)
 t : 板의 두께(mm)
 p : 總荷重(kg)
 a : 균열길이(mm)
 u_k^* : 가상變位(mm)
 p_k^* : 가상면위에 對應하는 表面力(kg)
 Δ_i : Dirac의 delta함수이며 點 i에 作用하는 l方
 向의 單位力

序 論

本論文은 不連續 平板構造物 内部에 缺陷을 가진
 때 相互干涉에 依한 安定性 問題의 評價에 對해서

研究한 바를 보고한다. 여기에 關係하는 종래의 研
 究들^{2,3)}은 대개 平滑平板等의 連續構造物 또는 無限
 平板内部에 어떤 種類의 缺陷이 存在하여 그附近에
 局所의 降伏點을 초월하는 경우에 그破壞要因인
 許容限界應力評價를 爲하여 그支配特性媒介變數인
 K值, COD, J積分値等이 보고되어있다. 그중에서도
 Burceikin³⁾이 實構造物에서의 局所의 降伏狀態를
 COD 개념에 依해서 檢討하여 COD 設計曲線을 提
 示하였으나 이식은 균열을 中心으로하는 어떤 標點
 거리에서 變形과의 關係를 구하기 爲해 균열의 길이
 를 變化시켜 行하고있으며 실제의 적용에서는 變形
 값이 全體變形값이어야하나 이것을 局部變形값으로
 代入하여 計算하므로 이點에對해서 充分한 說明이
 없다³⁾. 또 Begly²⁾는 應力集中部에 생기는 塑性變形
 域中의 均열의 評價로서 J設計曲線을 提案하고 있
 으나 J積分値는 본래 非線形彈性體 및 全變形理論에

* 東義工業專門大學 : Dong Eue Technical Junior College

** 釜山水產大學 : National Fisheries University of Busan

맞추어 變形增分理論에 따라 行한 J의 徑路獨立성이 證明 되어있지 않는 것이 問題이다. 그리고 Jurner⁷⁾는 各種의 應力集中部에 균열이 存在하는 狀態를 有限要素法을 利用하여 近似式을 求하였으나 境界要素法과 比較해서 精度面뿐만 아니라 變位가 아주 적은 곳의 局部的인 降伏區域에서는 接觸問題로서 BEM 方法이 보다 便利한 數值解法임을 보이고 있다. 이러한 點들을 염두에 두고, 本論文에서는 不連續구조물에서 内部에 應力集中部에 存在하는 缺陷의 部分에 力學의 狀態를 特徵짓는 應力 및 變形的 關係를 求하여 J積分值를 求하고 이의 檢定을 爲하여 시편을 제작하여 光彈性實驗을 병행하여 缺陷부분의 압축 및 引張區域에서의 評價曲線의 特性에 關한 結果를 提示한다.

境界要素法에 의한 數值解析

1. 解析法

여기서는 應力集中部에 대해서 J值 및 變形값의 關係를 境界要素法(BEM)⁴⁾을 써서 應力集中部에 存在하는 缺陷부분의 應力 및 變形으로부터 구한다. 本論文의 境界요소로서 48點을 境界面에서 分布시켰고, 또 評價點으로서 20點을 使用했다. 여기서 解析에 使用된 材料定數는 實驗에 使用된 光彈性材料의 特性値와 그 實驗시편의 寸수를 그대로하였다.

2. 解析모형

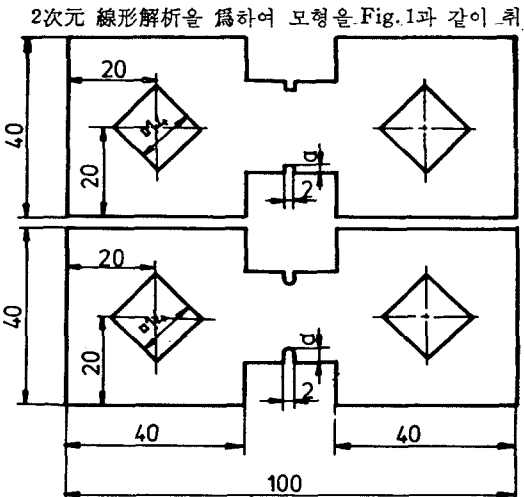


Fig. 1. Model of the crack emanating from stress concentrated regions.

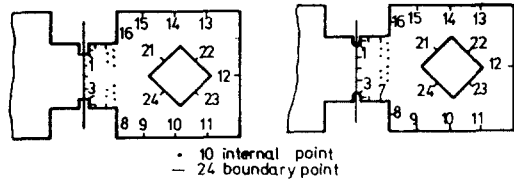


Fig. 2. Boundary element method network for stress and strain.

했으며 그들의 應力集中의 缺陷의 길이 a는 2mm, 3mm이다.

3. 2次元彈性理論⁴⁾

Fig. 1과 같은 모델의 해석을 爲하여 彈性方程式 적용에 앞서 BEM을 爲한 다음의 가정을 둔다.

(1) 주어진 材料는 線形應力-變形度關係를 만족하는 等方體(isotropy body)이다.

(2) 초기狀態의 應力 및 變形도는 熱과 時間에 關한 變形은 없다.

이상의 가정으로부터 탄성재료의 Euler방정식 및 평형조건식과 變形關係式으로부터 假想일의 原理⁴⁾의 式은 다음과 같다.

$$\int_{\Omega} (\sigma_{jk,j} + b_k) u_k^* d\Omega = \int_{\Gamma_2} (p_k - \bar{p}_k) u_k^* d\Gamma \dots\dots\dots (1)$$

여기에서 u_k^* 는 가상변위이고 Γ_1 에서 同次 境界條件式 $\bar{u}_k = 0$ 를 恒等的으로 만족한다. u_k^* 를 Γ_1 에서 이것들의 조건식을 만족 시키지않는 중첩함수라 해석할때에 다음식이 된다.

$$\int_{\Omega} (\sigma_{jk,j} + b_k) u_k^* d\Omega = \int_{\Gamma_2} (p_k - \bar{p}_k) u_k^* d\Gamma + \int_{\Gamma_1} (\bar{u}_k - u_k) p_k^* d\Gamma \dots\dots\dots (2)$$

(2)式을 부분積分하면

$$\int_{\Omega} b_k u_k^* d\Omega - \int_{\Omega} \sigma_{jk} \epsilon_{jk}^* d\Omega = - \int_{\Gamma_2} \bar{p}_k u_k^* d\Gamma - \int_{\Gamma_1} p_k u_k^* d\Gamma + \int_{\Gamma_1} (\bar{u}_k - u_k) p_k^* d\Gamma \dots\dots\dots (3)$$

(3)式을 다시 部分積分하면,

$$\int_{\Omega} b_k u_k^* d\Omega + \int_{\Omega} \sigma_{jk}^* \epsilon_{jk} d\Omega = - \int_{\Gamma_2} \bar{p}_k u_k^* d\Gamma - \int_{\Gamma_1} p_k u_k^* d\Gamma + \int_{\Gamma_1} \bar{u}_k p_k^* d\Gamma + \int_{\Gamma_2} u_k p_k^* d\Gamma \dots\dots (4)$$

(4)式을 평형조건식을 적용하면,

$$\sigma_{jk,j} + \Delta^i_i = 0$$

여기서 Δ^i_i 은 Dirac delta function이며, i 點에서 i 方向의 單位荷重을 表示한다. 즉

$$u_i^i + \int_{\Gamma_1} \bar{u}_k p_k^* d\Gamma + \int_{\Gamma_2} u_k p_k^* d\Gamma = \int_{\Omega} u_k^i b_k^i d\Omega$$

$$+\int_{\Gamma_1} p_k u_k^* d\Gamma + \int_{\Gamma_2} \bar{p}_k u_k^* d\Gamma \dots\dots\dots(5)$$

u_i 는 點 i 에 있어서 l 方向의 變位를 나타낸다. 一般의 點 i 에 대해서 다음과 같이 쓸수있다.

$$u_i + \int_{\Gamma} u_k p_k^* d\Gamma = \int_{\Gamma} p_k u_k^* d\Gamma + \int_{\Omega} b_k u_k^* d\Omega \dots\dots(6)$$

여기서 $\Gamma = \Gamma_1 + \Gamma_2$ 이다. u_k^* 와 p_k^* 는 點 i 에 있어서 l 方向에 作用하는 單位의 集中力에 의해 생긴 變位와 應力 vector인 기본해이고, 3方向에 作用하는 單位力을 생각하면 다음과 같이 쓸수있다.

$$u_i + \int_{\Gamma} u_k p_{ik}^* d\Gamma = \int_{\Gamma} p_k u_{ik}^* d\Gamma + \int_{\Omega} b_k u_{ik}^* d\Omega \dots\dots(7)$$

(7)式을 3次元의인 問題에 대한 一般化된 式으로 수정하면,

$$c^i u_i + \int_{\Gamma} u_k p_{ik}^* d\Gamma = \int_{\Gamma} p_k u_{ik}^* d\Gamma + \int_{\Omega} b_k u_{ik}^* d\Omega \dots\dots(8)$$

이다. 여기서 c^i 는 境界點의 거칠기계수이며 内部點에 대하여서는 $c^i = 1$ 이된다. 또한 p_{ik} 및 u_{ik}^* 는 식(6)과 마찬가지로 l 方向으로 作用하는 單位荷重에 대한 k 方向의 應力과 變位를 나타낸다. 2次元 平面 strain을 받는 等方體에 대한 p_{ik}^* u_{ik}^* 는

$$u_{ik}^* = \frac{1}{16\pi G(1-\nu)r} \left[(3-\nu)\Delta_{ik} + \frac{\partial r}{\partial x_i} \frac{\partial r}{\partial x_k} \right] \cdot (9-a)$$

$$p_{ik}^* = \frac{1}{8\pi(1-\nu)r^2} \left[\frac{\partial r}{\partial n} \left\{ (1-2\nu)\Delta_{ik} + 3\frac{\partial r}{\partial z_l} \frac{\partial r}{\partial z_k} \right\} - (1-2\nu) \left\{ \frac{\partial r}{\partial z_l} n_k - \frac{\partial r}{\partial z_k} n_l \right\} \right] \cdot (9-b)$$

이 된다. 단, n 는 物體表面의 法線, Δ_{ik} 는 Kronecker의 delta, r 는 負荷點이라 생각하고 있는 點과의 距離, n_j 는 方向餘弦이다. 等方體의 2次元平面變形에 대해서 基本解는

$$u_{ik}^* = \frac{1}{8\pi G(1-\nu)} \left[(3-4\nu) \ln\left(\frac{1}{r}\right) \Delta_{ik} + \frac{\partial r}{\partial x_i} \frac{\partial r}{\partial x_k} \right] \dots\dots\dots(10-a)$$

$$p_{ik}^* = -\frac{1}{4\pi(1-\nu)r} \left[\frac{\partial r}{\partial n} \left\{ (1-2\nu)\Delta_{ik} + 2\frac{\partial r}{\partial x_i} \frac{\partial r}{\partial x_k} \right\} - (1-2\nu) \left(\frac{\partial r}{\partial x_i} n_k - \frac{\partial r}{\partial x_k} n_i \right) \right] \dots\dots\dots(10-b)$$

이 된다. 식 (8)을 matrix 형태로 바꾸어 쓰면

$$c^i u_i + \int_{\Gamma} p^* u d\Gamma = \int_{\Gamma} u^* p d\Gamma + \int_{\Omega} u^* b d\Omega \dots\dots\dots(11)$$

이고 여기서 u_{ik}^* 성분으로하여 갖는것과 같은 2×2 의 matrix를 u^* , p_{ik}^* 를 成分으로 하여 갖는것과 같은 2×2 의 matrix를 p^* 로 나타내었다. 즉

$$p^* = \begin{bmatrix} p_{11}^* & p_{21}^* \\ p_{12}^* & p_{22}^* \end{bmatrix} \quad u^* = \begin{bmatrix} u_{11}^* & u_{21}^* \\ u_{12}^* & u_{22}^* \end{bmatrix}$$

$$u = \begin{bmatrix} u_1 \\ u_2 \end{bmatrix} \quad p = \begin{bmatrix} p_1 \\ p_2 \end{bmatrix} \quad b = \begin{bmatrix} b_1 \\ b_2 \end{bmatrix}$$

이다. 解析域을 n 個의 境界요소로 나누어서 數值的인 積分形으로 쓰면

$$c^i u_i + \sum_{j=1}^n \tilde{H}_{ij} u_j = \sum_{j=1}^n G_{ij} p_j + b_i \dots\dots\dots(12)$$

이고 여기서

$$c^i = \begin{bmatrix} c^i & 0 \\ 0 & c^i \end{bmatrix}$$

이며 平滑한 表面에서는

$$c^i = 1/2$$

이고

$$H_{ij} = \tilde{H}_{ij} + C^i (i=j \text{ 일 때})$$

를 다시쓰면

$$\sum_{i=1}^n H_{ij} u_j = \sum_{i=1}^n G_{ij} p_j + b_i \dots\dots\dots(13)$$

식(13)으로 表示되는 2次元彈性問題의 式을 이러한 數值的인 方法에 의하여 評價點들의 應力 및 變位の 값들을 구하였다. 여기에 使用된 계산기의 機種은 Perkin Elmar 3220이다.

實驗材料 및 方法

1. 實驗材料

光彈性實驗用 試片材料로서는 主劑가 epoxy 수지인 素材를 使用하였다. 사용된 材料常數들은 하중 (p)은 36kg, 54kg, 두께는 (t)6mm, 재료의세로탄성 계수(E)는 302kg/mm², 프와송 비(ν)는 0.35, 항복 응력(σ_y)은 18.2kg/mm²이고 시편의 形狀加工을 機械加工 및 手技加工을 하였다.

2. 實驗方法

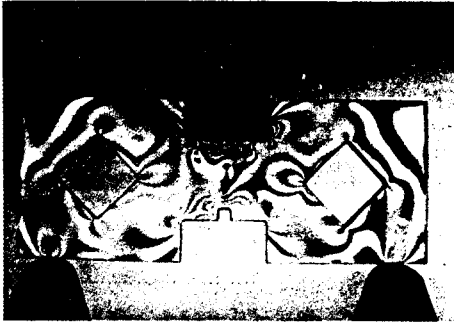
製作된 個個의 시편을 光源으로부터 빛 方向에 수직으로 세운 偏光子板과 檢光子板 사이의 荷重台위에 세워서 應力集中의 變化를 爲하여 荷重을 36kg, 54kg을 順次的으로 주어 무너모양을 촬영 했고 응력차는 다음식을 사용했다⁶⁾. 즉, $N = \alpha(\sigma_1 - \sigma_2)$ 이며 여기서, N : 프렌지넘버, α : 감도계수, $\sigma_1 - \sigma_2$: 한 등색선의 주응력차르 계산한 결과 값은 0.738mm/kg였다. 그리고 한무너당의 應力은 1.355kg/mm였다.

J 值 計算

境界要素法 및 光彈性 實驗에 의하여 評價點들의 應力 및 變形的 값들로부터 J 및 變形 e 의 값을 計算하기 爲하여 다음식을 도입하였다⁷⁾.

$$J = R + \frac{1}{t(b-a)} \{ 2U_e - p_y e_y \} \dots\dots\dots(14)$$

여기서 $R = (1-\nu^2)K_c^2/E$ (平面變形), K_c^2/E (平面應力)이고



(a) Rectangular crach.



(b) Round crach.

Fig.3. Dark field isofringe of uncontinous plate in loading.

$$\begin{Bmatrix} \sigma_x \\ \sigma_y \\ \tau_{xy} \end{Bmatrix} = \frac{K_c}{\sqrt{2\pi r}} \begin{Bmatrix} \cos \frac{\theta}{2} \left\{ 1 - \left(\sin \frac{\theta}{2} \cdot \sin \frac{3}{2}\theta \right) \right\} \\ \cos \frac{\theta}{2} \left\{ 1 + \left(\sin \frac{\theta}{2} \cdot \sin \frac{3}{2}\theta \right) \right\} \\ \cos \frac{\theta}{2} \cdot \sin \frac{\theta}{2} \cdot \sin \frac{3}{2}\theta \end{Bmatrix} \dots\dots\dots(15)$$

이다.

단, t : 두께, a : 크랙길이, b : 크랙폭, P_y : 항복하중, e_y : 항복시 荷重點變位, U : 탄성에너지, e : 전제變位이다.

여기서 식(14)에 의하여 식(13)로부터 計算된 應力の 값들을 代入하여 J 값을 구하여 이것을 無次元量 ($J_E/\sigma_y^2 b$)으로서 Fig.4에 表示하였다. 그리고 이들을 도수분포 값들로 부터 곡선회귀解析에 의하여 式을 구하면

$$J_E/\sigma_y^2 a = 3.335 \left(\frac{e}{e_y} \right)^2 : \frac{e}{e_y} \leq 1 \dots\dots\dots(16-a)$$

$$J_E/\sigma_y^2 a = 3.345 (e/e_y) : \frac{e}{e_y} > 1 \dots\dots\dots(16-b)$$

가 된다.

考 察

1. 評價曲線

경계요소법(BEM)에 의한 結果 應力集中部 균열에 대해서 J 의 無次元量 $J_E/\sigma_y^2 a$ 같은 應力集中部の 가장균열부에 평균 變形 무차원량 e/e_y 와의 사이에 應力集中係數를 計算한 결과 균열의 길이에는 依存하지 않고 一定의 關係가 存在하는 것을 알았다.

Fig.4 및 Fig.5의 하중에 의한 균열에 대해서도 가장균열과 그의 부분에서 平均변형을 고려하는 것에 의해 應力集中部 均열은 거의같은 모양으로 취급이 가능한 것으로 판명되었다. 더우기 各중응력 집중부

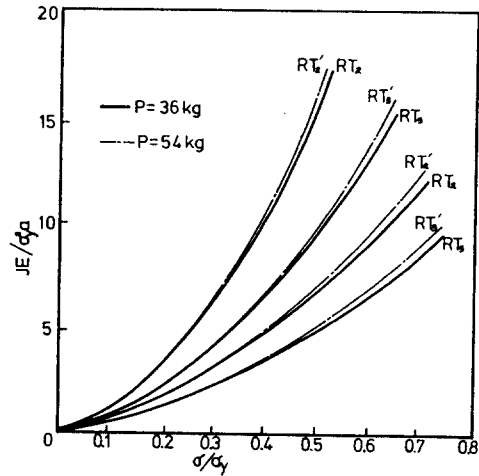


Fig.4. Relation between $J_E/\sigma_y^2 a$ and σ/σ_y .

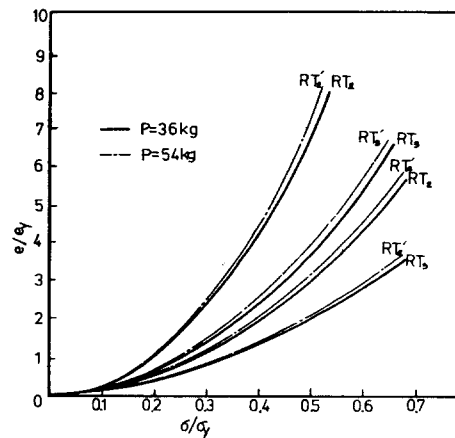


Fig.5. Relation between e/e_y and σ/σ_y .

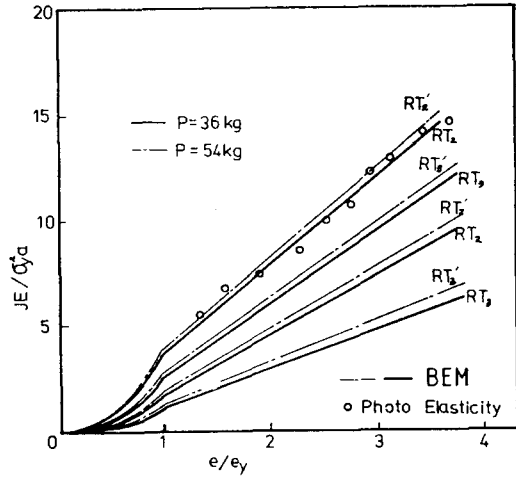


Fig. 6. Relation between $J_E/\sigma_y^2 a$ and e/e_y analyzed by BEM.

에 대해서 J 와 e 와의 關係를 Fig. 6의 曲線群이 2次式으로 表示되는 곡선의 회귀식이 된다.

Fig. 6에서 $e/e_y=1$ 의 값을 초기항복상태라 하고 一種의 應力集中部라 하면 그 계수 $\sigma_{max}/\sigma_{net}$ 의 값에 따라서 그 무차원량이 a 의 크기에는 關係치않고 크랙의 全變形(e)를 使用하면 Fig. 2의 (b)형상보다 (a)쪽이 영향이크다. 더우기 실구조물에 적용하는 경우에도 e 의 定義가 명확히 되는것은 많은 利點이 있는것으로 생각된다. 全變形에 근거를 두는 方法은 그 標點거리를 취하는 方法에 의해서 變形이 큰차이가 있게 된다. 이 傾向은 變形구배의 큰값에서 현저하다. 또 실제의 구조물에 있어서 균열을 가정해서 全體變形을 구하는 것은 곤란하다. 따라서 적용이 全體變形을 그외의 국소변형으로 바꾸는 조작을 행하지 않는것이 그 評價가 모호하게 되는수가 있다. 이런 점으로부터 應力變形 集中部の 缺陷評價는 全體變形에 근거를 두는 方法을 적용하지 않는것이 좋다고 생각된다. 또 식(16)는 應力集中係數가 2.4 이상의 경우의 應力集中部 균열에 대해서 解析하는 結果값으로 上限으로 결정된다는 것이다. 따라서 應力集中部 계수가 더욱 작은 경우에는 $J_E/\sigma_y^2 a \sim e/e_y$ 가 식(16)에 의해 表示되는 것보다 상방에 位置한다고 하는 가능성이 있다. 실제 應力集中係數가 1의 극한에 있어서 $J_E/\sigma_y^2 a \sim e/e_y$ 곡선이 $e/e_y=1$ 의 부근에서 급격히 위로 경사진다는 것은 쉽게 알수있다. 문제는 應力集中係數가 1.5~2 정도일때 이지만 이런 경우에는 통상 설계應力레벨 로서 국부變形이 e_y 를 크게 상회

한다고는 생각 하지 않는다. 이런근거로 e/e_y 가 1을 크게 초과하는 程度까지는 아니기 때문에 식(16)로써 評價해도 크게 오차가 생기지 않는다. 이런 근거로 실제구조물로서 문제되는 應力集中部의 경우는 식(16)로서 알수있다고 생각된다. 이상을 整理하면 파괴를 특징짓는 廣義의 荷重으로서 應力集中部의 가상균열부 예시의 平均변형으로 파괴 파라미터로서 값을 사용하면 J 와 e 와의 사이에 缺陷을 應力集中部に 存在하는 缺陷平價曲線인 J 評價曲線이라고 생각한다.

2. 平面變形狀態와 平面應力상태 및 加工硬化率

본 해석에서 평면應力상태 가공경화율을 $H'=E/100$ 을 가정해서 논했다. 그러나 실제 구조물의 현상은 일반적으로 평면應력과 평면변형의 중간의 상태에 있고 또 적당히 가공경화하는 재료가 사용되는 경우가 많다. 따라서 이런 因子의 $J-e$ 關係를 취급하는 影響에 대해 고려할 필요가 있다. 金澤³⁾은 3點 휨 시험에서 평면應력과 평면變形的 차이 및 H' 의 큰變化가 소규모 항복역에서는 평면應력 및 평면변형에 의한 差는 거의없고 소성역이 크게되는 평면應력의 경우 J 의 폭이 크게되는것 및 H' 의 影響은 전면 항복에 이르기까지 거의 나타내지 않는다는 것을 보여준다.

3. 應力集中部の 缺陷 評價法

Fig. 6에 있어서 표시되는 J 評價곡선을 사용하면 재료의 파괴인성치(J_c)와 균열길이 a 로부터 e/e_y 가 결정된다. 더우기 검토대상으로는 應力集中部에 대하여 Fig 6에 나타낸것과 같은 作用應력과 평면變形과의 關係가 얻어지면 이것을 써서 파괴하중이 추정된다. 또 J_c 와 부하應력이 既知의 경우에는 限界 균열길이 a_{cr} , a 가 負荷荷重이 既知인 경우에는 材料에 要求되는 파괴인성치 J_c 를 각각 추정할 수 있다. 또 應力集中部의 變形을 근사적으로 추정하는 方法으로서 Neuber⁴⁾에 의한것이 가장잘 알려져 있다. 이것에 의하면 탄성해석의 結果를 기초로 탄소성 變形的 分布를 추정하는 것이 가능하다고생각되어진다. Neuber의 식의 有用성에 대해서는 이것에 의한 결과와 유한요소법에 의한 結果를 비교한 것으로서 Begley²⁾에 의해 검토되었다.

Fig. 7 에는 이제껏 제안된 設計曲線의 重要한 것을 表示하고 있다. 그가운데는 COD⁵⁾, J值²⁾, FEM⁷⁾

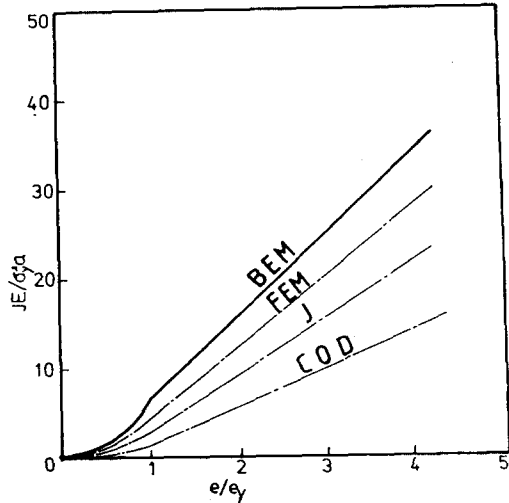


Fig.7. Comparison of variation among J design curves.

및 BEM⁴⁾에 의해 계산값들을 서로 비교하고 있으나 BEM의 값이 상한으로서 나타내어지고 있음을 보인다. Fig.4, Fig.5, Fig.6의 RT₂는 Fig.1에서의 crack의 형상이고 길이는 2mm 또 RT₁₂는 하단의 crack 형상 길이 2mm이다.

結 論

應力集中部에 存在하는 균열에 대해서 J 評價式은 그 주위의 應力集中部の 국부變形과의 關係에 對해서 引張 및 壓縮이 있는 두곳에서 BEM 解析과 光彈性 實驗한 결과와 COD 및 J 値와 비교한 結果는 다음과 같다.

1. 應力集中部에 存在하는 균열에 對해서의 J 値의 無次元量 $J_E/\sigma_y^2 a$ 와 그 경우의 平均變形 및 降伏變形의 비(e/e_y)와의 關係는 균열의 길이에 依하지 않

고 應力集中部の 형태에 거의 지배적으로 決定되는 一義的 대응關係가 있다.

2. 무한연속부 内部의 어떤 缺陷에 對한 評價式으로 부터 구한 값을 불연속 구조물내의 應力集中部에 存在하는 결함에 對하여 비교 整理하면, $J_E/\sigma_y^2 a = 3.345(e/e_y)^2$ 의 구간은 $e/e_y \leq 1$ 이고, $J_E/\sigma_y^2 a = 3.345(e/e_y)$ 의 구간은 $e/e_y > 1$ 로서 이식들은 缺陷部 J 評價式으로 사용할 수 있다.

3. 境界要素法에 依한 J 式의 값과의 사이에는 加工硬化率은 $E/100$ 을 사용 하므로 이론과 실험결과가 거의 일치함을 보이고 상기 J 식은 不連續平板 구조물이 缺陷을 갖일때 應力設計曲線의 資料가 될수 있다.

參 考 文 獻

- 1) 田中正隆(1982) : 境界要素法과 基礎應用. 丸善株式會社, 82.
- 2) Begley, J. A. Landes, J. D. and Wilson(1974) : An estimation model for application of the J-intergral. ASTM STP, 560, 155-169.
- 3) Burdekin, F.M. and Dawes, M.G.(1971) : Practical use of liner elastic and yielding fracture mechanics with particular reference to pressure vessels. Inst. of Mech. Eng., 28-37.
- 4) C. A. Brebbia(1981) : The boundary element method for engineers. Pentch Press, 139.
- 5) Larry, F. and Segerlind(1976) : Applied Finite Element analysis. John Wiley, 73.
- 6) Neuber, M(1961) : Theory of stress concentration for shear-strained prismatical bodies. ASME Ser E. 28-4, 544-550.
- 7) Turner, C.E.(1979) : Method for post-yield fracture mechanics. Applied Science publishers, 23-210.